

## ВОЛОЧЕНИЕ ЧЕРЕЗ КРИВОЛИНЕЙНУЮ МАТРИЦУ

Б. А. Друянов

(Москва)

Задача о волочении листа из жестко идеально пластического материала при условии плоской деформации является статически неопределенной.

В случае прямолинейной матрицы удается удовлетворить граничным условиям для скоростей благодаря прямолинейности характеристик в пластической области, примыкающей к стенке матрицы [1].

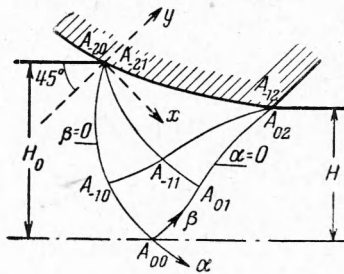
Задача о волочении через криволинейную матрицу рассматривалась К. Н. Шевченко [2], однако построенное им решение не удовлетворяет граничным условиям для скоростей на жестко-пластической границе. Решение этой задачи дано ниже. При этом использован метод, предложенный в работе [3].

**I. Об интегрировании уравнений плоской деформации.** Во всех областях, где характеристики криволинейны, можно ввести криволинейные координаты по формулам [1]

$$\begin{aligned}\alpha &= \frac{1}{2} \left[ \frac{p_0}{2k} - \left( \frac{p}{2k} + \varphi \right) \right] \\ \beta &= \frac{1}{2} \left[ -\frac{p_0}{2k} + \left( \frac{p}{2k} + \varphi \right) \right]\end{aligned}\quad (1.1)$$

Здесь

$$\varphi = \frac{1}{2} \operatorname{Arctg} \frac{\sigma_y - \sigma_x}{2\tau_{xy}}, \quad p = -\frac{\sigma_x + \sigma_y}{2}$$



Проекции скорости  $v_\alpha, v_\beta$  на направления  $\alpha, \beta$ , а также величины  $X, Y$ ,  
( $X = x \cos \varphi + y \sin \varphi$ ,  $Y = -x \sin \varphi + y \cos \varphi$ )  
удовлетворяют уравнению

$$\frac{\partial^2 f}{\partial \alpha \partial \beta} + f = 0 \quad (1.2)$$

Решение задачи Гурса для этого уравнения имеет вид [1]

$$\begin{aligned}f(\alpha, \beta) &= f(\alpha_0, \beta_0) J_0 [2 V(\alpha - \alpha_0)(\beta - \beta_0)] + \\ &+ \int_{\alpha_0}^{\alpha} J_0 [2 V(\alpha - \alpha_1)(\beta - \beta_0)] \frac{\partial}{\partial \alpha_1} f(\alpha_1, \beta_0) d\alpha_1 + \int_{\beta_0}^{\beta} J_0 [2 V(\alpha - \alpha_0)(\beta - \beta_1)] \frac{\partial}{\partial \beta_1} f(\alpha_0, \beta_1) d\beta_1\end{aligned}\quad (1.3)$$

Пусть  $J_0 [2 V(\alpha - a)(\beta - b)]$  — функция Бесселя первого рода нулевого порядка. Эта функция удовлетворяет уравнению (1.2). Подставляя ее в (1.3) вместо  $f$  и полагая  $b = \beta_0$ , получим тождество

$$\begin{aligned}\int_{\beta_0}^{\beta} J_0 [2 V(\alpha - \alpha_0)(\beta - \beta_1)] \frac{\partial}{\partial \beta_1} J_0 [2 V(\alpha_0 - a)(\beta_1 - \beta_0)] d\beta_1 = \\ = J_0 [2 V(\alpha - a)(\beta - \beta_0)] - J_0 [2 V(\alpha - \alpha_0)(\beta - \beta_0)]\end{aligned}\quad (1.4)$$

Тождество (1.4) позволяет свести многочленные интегралы, которые появляются в формулах для  $v_\alpha, v_\beta, X, Y$  при переходе от одной пластической области к другой, к однократным.

2. Предположим, что поле линий скольжения имеет вид, показанный на фигуре. Примем для простоты, что сила трения между материалом листа и стенкой матрицы постоянна и равна  $T$ . Тогда вдоль линии контакта  $A_{-21}A_{-12}$  имеет место соотношение (фиг.)

$$\theta - (\alpha + \beta) = \frac{1}{2} \pi - \delta \quad \left( \delta = \frac{1}{2} \operatorname{arc cos} \frac{T}{k} \right) \quad (2.1)$$

Здесь  $\theta$  — отсчитываемый от оси  $A_{-21}x$  против часовой стрелки угол между этой осью и касательной к линии  $A_{-21}A_{-12}$ , а  $k$  — предел текучести на сдвиг материала листа.

Примем скорость листа после деформации за единицу, тогда скорость листа до деформации будет равна  $1 - \varepsilon$ , где  $\varepsilon = (H_0 - H)/H_0$ .

Имеют место следующие граничные условия для скоростей:

$$\begin{aligned} \frac{\partial v_\alpha}{\partial \alpha} &= (1 - \varepsilon) \cos\left(\frac{1}{4}\pi + \alpha\right), \quad \frac{\partial v_\beta}{\partial \alpha} = -(1 - \varepsilon) \sin\left(\frac{1}{4}\pi + \alpha\right) \text{ при } \beta = 0 \text{ (на } A_{-20}A_{00}) \\ \frac{\partial v_\alpha}{\partial \beta} &= \cos\left(\frac{1}{4}\pi + \beta\right), \quad \frac{\partial v_\beta}{\partial \beta} = -\sin\left(\frac{1}{4}\pi + \beta\right) \text{ при } \alpha = 0 \text{ (на } A_{00}A_{02}) \\ v_\alpha &= \frac{1}{V^2}, \quad v_\beta = \frac{1 - \varepsilon}{V^2} \text{ при } \alpha = 0, \beta = 0 \text{ (в точке } A_{00}) \end{aligned}$$

На линии  $A_{-21}A_{-12}$  нормальная скорость равна нулю, что дает

$$v_\alpha \cos \delta - v_\beta \sin \delta = 0 \quad (2.2)$$

Определяя  $v_\alpha$  и  $v_\beta$  и подставляя получающиеся формулы в (2.2), получим уравнение

$$\begin{aligned} &\frac{1}{V^2} J_0(2\sqrt{\alpha\beta}) [\cos \delta - (1 - \varepsilon) \sin \delta] + \\ &+ (1 - \varepsilon) \int_0^\alpha \cos\left(\lambda + \frac{1}{4}\pi - \delta\right) J_0[2\sqrt{(\alpha - \lambda)\beta}] d\lambda + \\ &+ \int_0^\beta \cos\left(\lambda + \frac{1}{4}\pi - \delta\right) J_0[2\sqrt{\alpha(\beta - \lambda)}] d\lambda = 0 \end{aligned} \quad (2.3)$$

При выводе этого уравнения использовано тождество (1.4). Учитывая, что  $\sin(\alpha + \beta + \pi/4 - \delta)$  удовлетворяет уравнению (1.2), и используя формулу (1.3), получим тождество

$$\begin{aligned} \sin\left(\alpha + \beta + \frac{1}{4}\pi - \delta\right) &= \sin\left(\frac{1}{4}\pi - \delta\right) J_0[2\sqrt{\alpha\beta}] + \\ &+ \int_0^\alpha \cos\left(\lambda + \frac{1}{4}\pi - \delta\right) J_0[2\sqrt{(\alpha - \lambda)\beta}] d\lambda + \int_0^\beta \cos\left(\lambda + \frac{1}{4}\pi - \delta\right) J_0[2\sqrt{\alpha(\beta - \lambda)}] d\lambda \end{aligned}$$

Упрощая при помощи этого тождества уравнение (2.3), получим

$$\cos\left(\theta + \frac{1}{4}\pi\right) = \varepsilon \left[ \frac{1}{V^2} J_0(2\sqrt{\alpha\beta}) \sin \delta - \int_0^\alpha J_0[2\sqrt{(\alpha - \lambda)\beta}] \cos\left(\frac{1}{4}\pi - \delta + \lambda\right) d\lambda \right] \quad (2.4)$$

Это уравнение совместно с уравнением (2.1) определяет  $\alpha$  и  $\beta$  как функции от  $\theta$ . Тем самым на дуге контакта определяется  $p$ , как функция  $\theta$  (см. 1.1), и становится возможным построение сетки линий скольжения.

Уравнения (2.1), (2.4) допускают решения

$$\begin{aligned} \theta_1 &= \frac{1}{4}\pi - \arcsin\left[\frac{\varepsilon \cos \delta}{\sqrt{2}(1 - \varepsilon)}\right], \quad \alpha_1 = \theta_1 - \frac{1}{2}\pi + \delta, \quad \beta_1 = 0 \\ \theta_2 &= \frac{1}{4}\pi - \arcsin\left[\frac{\varepsilon \sin \delta}{\sqrt{2}}\right], \quad \alpha_2 = 0, \quad \beta_2 = \theta_2 - \frac{1}{2}\pi + \delta \end{aligned}$$

Дифференцируя уравнения (2.1), (2.4) по  $\theta$  и полагая затем в них  $\theta = \theta_2$ ,  $\alpha = \alpha_2$ ,  $\beta = \beta_2$ , получим значения первых трех производных от функций  $\alpha(\theta)$ ,  $\beta(\theta)$  в точке  $\theta = \theta_2$ , что позволяет написать первые четыре члена разложения этих функций в ряд Тейлора в окрестности точки  $\theta = \theta_2$

$$\begin{aligned} \alpha_2' &= \Delta \sin\left(\theta_2 + \frac{1}{4}\pi\right), \quad \Delta = \varepsilon^{-1} \left[ \frac{\sin \delta}{\sqrt{2}} \beta_2 + \cos\left(\frac{1}{4}\pi - \delta\right) \right]^{-1} \\ \alpha_2'' &= \Delta \left\{ \cos\left(\theta_2 + \frac{1}{4}\pi\right) + \varepsilon \left[ \frac{\sin \delta}{\sqrt{2}} \left( \frac{1}{2} \alpha_2'^2 \beta_2^2 - 2\alpha_2' \beta_2' \right) + \right. \right. \\ &\quad \left. \left. + \cos\left(\frac{1}{4}\pi - \delta\right) \alpha_2'^2 \beta_2 + \sin\left(\frac{1}{4}\pi - \delta\right) \alpha_2' \right] \right\} \end{aligned}$$

$$\begin{aligned} \alpha_2''' &= \Delta \left\{ -\sin \left( \theta_2 + \frac{1}{4} \pi \right) + \varepsilon \left\{ \frac{\sin \delta}{\sqrt{2}} \left[ 3\alpha_2'' \left( \frac{1}{2} \alpha_2' \beta_2^2 - \beta_2' \right) - \right. \right. \right. \\ &\quad \left. \left. \left. - \frac{1}{6} \alpha_2'^3 \beta_2^3 + 3\alpha_2'^2 \beta_2' \beta_2 - 3\alpha_2' \beta_2'' \right] + \cos \left( \frac{1}{4} \pi - \delta \right) \left[ \alpha_2'' \beta_2 (1 + 2\alpha_2') + \right. \right. \\ &\quad \left. \left. \left. + \alpha_2'^2 \left( -\frac{1}{2} \beta_2^2 + \beta_2' + 1 \right) + 2\alpha_2' \beta_2' \right] + \sin \left( \frac{1}{4} \pi - \delta \right) [\alpha_2'' (1 + \alpha_2') - \alpha_2'^3 \beta_2] \right\} \right\} \\ \beta_2' &= 1 - \alpha_2', \quad \beta_2'' = -\alpha_2'', \quad \beta_3''' = -\alpha_2''' \end{aligned}$$

Значения  $\theta$ ,  $\alpha$  и  $\beta$  в точке  $A_{-21}$  обозначим через  $\theta_0$ ,  $\alpha_0$ ,  $\beta_0$ , а в точке  $A_{-12}$  — через  $\theta_*$ ,  $\alpha_*$ ,  $\beta_*$ . Величина угла раствора сектора  $A_{00} A_{-20} A_{-21} A_{11}$  равна  $\beta_0$ , а сектора  $A_{00} A_{02} A_{-12} A_{-10}$  —  $(-\alpha_*)$ . Поэтому должны выполняться условия  $\alpha_* \leq 0$ ,  $\beta_0 \geq 0$ .

Учитывая, что в промежутке  $0 \leq \theta \leq \pi/4$  величины  $\alpha$  и  $\beta$  обращаются в нуль только по одному разу, а также, что  $(d\alpha/d\theta)_2 > 0$  и  $(d\beta/d\theta)_1 < 0$ , получим границы применимости найденного решения:  $\theta_0 \leq \theta_1$ ,  $\theta_* \leq \theta_2$ .

Величина  $\theta_2 \leq \pi/4$ , причем знак равенства имеет место лишь при  $\delta = 0$ , что соответствует условию  $T = k$ . Таким образом, только в случае, когда сила трения между стенкой матрицы и материалом листа равна пределу текучести на сдвиг материала листа, полученнное решение удовлетворяет условию  $\theta_* = \pi/4$ , что соответствует наличию горизонтальной касательной к стенке матрицы в точке  $A_{-12}$ . Линия контакта в этом случае является огибающей линий скольжения  $\beta$ .

Так как точка  $A_{00}$  (фиг.) должна находиться на оси симметрии матрицы, то при  $\alpha = \beta = 0$  должно выполняться условие  $x - y = \sqrt{2}(x, y — безразмерные координаты, представляющие собой отношения размерных координат к  $H_0$ )$ . Так как на оси симметрии  $x = X$ ,  $y = Y$ , то это условие принимает вид

$$X - Y = \sqrt{2} \quad (\alpha = \beta = 0) \quad (2.5)$$

Пусть параметрические уравнения кривой  $A_{-21} A_{-12}$  будут  $x = \varphi_1(\theta)$ ,  $y = \varphi_2(\theta)$ . Для величин  $X$ ,  $Y$  имеем граничные условия

$$\begin{aligned} X = \psi_1, \quad \frac{\partial X}{\partial \alpha} &= \psi_2 + \left( \frac{d\psi_1}{d\theta} - \psi_2 \right) / \left( \frac{d\alpha}{d\theta} \right), \quad \frac{\partial X}{\partial \beta} = \psi_2 && \text{при } x = \varphi_1(\theta), y = \varphi_2(\theta) \\ Y = \psi_2, \quad \frac{\partial Y}{\partial \alpha} &= -\psi_1, \quad \frac{\partial Y}{\partial \beta} = -\psi_1 + \left( \frac{d\psi_2}{d\theta} + \psi_1 \right) / \left( \frac{d\beta}{d\theta} \right) \\ X &= 0, \quad Y = 0 && \text{при } \alpha = \alpha_0 \\ \frac{\partial X}{\partial \alpha} &= -a \sin(\alpha + \beta_*) + b \cos(\alpha + \beta_*) \\ \frac{\partial Y}{\partial \alpha} &= -a \cos(\alpha + \beta_*) - b \sin(\alpha + \beta_*) && \text{при } \beta = \beta_* \end{aligned}$$

Здесь

$$\begin{aligned} \psi_1 &= \varphi_1(\theta) \sin(\theta + \delta) - \varphi_2(\theta) \cos(\theta + \delta), \quad a = \varphi_1(\theta_*), \\ \psi_2 &= \varphi_1(\theta) \cos(\theta + \delta) + \varphi_2(\theta) \sin(\theta + \delta), \quad b = \varphi_2(\theta_*) \end{aligned}$$

Интегрируя уравнение (1.2) по методу Римана, используя тождество (1.4), определим величины  $X$  и  $Y$  в области  $A_{00} A_{-10} A_{-11} A_{01}$  (фиг.).

$$\begin{aligned} X &= \frac{1}{2} \psi_1(\theta_*) J_0 [2 \sqrt{(\alpha - \alpha_*)(\beta - \beta_*)}] + \\ &+ \int_{\alpha_*}^{\alpha} [-a \sin(\alpha_1 + \beta_*) + b \cos(\alpha_1 + \beta_*)] J_0 [2 \sqrt{(\alpha - \alpha_1)(\beta - \beta_*)}] d\alpha_1 + \\ &+ \frac{1}{2} \int_{\theta_0}^{\theta_*} \left\{ \left[ G\psi_2 - \frac{\partial G}{\partial \alpha_1} \psi_1 \right] \frac{d\alpha_1}{d\theta} + \left[ \frac{\partial G}{\partial \beta_1} \psi_1 - G\psi_2 \right] \frac{d\beta_1}{d\theta} + G \left( \frac{d\psi_1}{d\theta} - \psi_2 \right) \right\} d\theta \quad (2.6) \end{aligned}$$

$$\begin{aligned} Y &= \frac{1}{2} \psi_2(\theta_*) J_0 [2 \sqrt{(\alpha - \alpha_*)(\beta - \beta_*)}] - \\ &- \int_{\alpha_*}^{\alpha} [a \cos(\alpha_1 + \beta_*) + b \sin(\alpha_1 + \beta_*)] J_0 [2 \sqrt{(\alpha - \alpha_1)(\beta - \beta_*)}] d\alpha_1 + \\ &+ \frac{1}{2} \int_{\theta_0}^{\theta_*} \left\{ - \left[ G\psi_1 + \frac{\partial G}{\partial \alpha_1} \psi_2 \right] \frac{d\alpha_1}{d\theta} + \left[ \frac{\partial G}{\partial \beta_1} \psi_2 + G\psi_1 \right] \frac{d\beta_1}{d\theta} - G \left( \frac{d\psi_2}{d\theta} + \psi_1 \right) \right\} d\theta \quad (2.7) \end{aligned}$$

Здесь  $G = J_0[2\sqrt{(\alpha - \alpha_1(\theta))(\beta - \beta_1(\theta))}]$ , функции  $\alpha_1(\theta)$  и  $\beta_1(\theta)$  определяются из уравнений (2.1), (2.4).

Условие (2.5) принимает теперь вид

$$\begin{aligned} & \frac{1}{2} \left[ a \sin \left( \theta_* + \delta - \frac{1}{4} \pi \right) - b \cos \left( \theta_* + \delta - \frac{1}{4} \pi \right) \right] J_0[2\sqrt{\alpha_* \beta_*}] + \\ & + \int_{\alpha_*}^0 \left[ a \cos \left( \frac{1}{4} \pi + \beta_* + \lambda \right) + b \sin \left( \frac{1}{4} \pi + \beta_* + \lambda \right) \right] J_0[2\sqrt{\lambda \beta_*}] d\lambda + \\ & + \frac{\sqrt{2}}{4} \int_{\theta_0}^{\theta_*} \left\{ \left[ G_0(\psi_1 + \psi_2) + \frac{\partial G_0}{\partial \alpha_1} (\psi_2 - \psi_1) \right] \frac{d\alpha_1}{d\theta} + \left[ \frac{\partial G_0}{\partial \beta_1} (\psi_1 - \psi_2) - G_0(\psi_1 + \psi_2) \right] \frac{d\beta_1}{d\theta} + \right. \\ & \left. + G_0 \left[ (\psi_1 - \psi_2) + \frac{d}{d\theta} (\psi_1 + \psi_2) \right] \right\} d\theta = 1 \end{aligned} \quad (2.8)$$

Здесь

$$G_0 = J_0[2\sqrt{\alpha_1(\theta) \beta_1(\theta)}]$$

Если функции  $\phi_1(\theta)$ ,  $\phi_2(\theta)$  и параметры заданы, то уравнение (2.8) удовлетворяется лишь в исключительных случаях. Если, однако, мы располагаем свободой выбора двух параметров в каждой из функций  $\phi_1(\theta)$ ,  $\phi_2(\theta)$ , то указанное на фиг. 1 поле линий скольжения дает решение поставленной задачи. При этом значения вышеупомянутых параметров определяются из уравнения (2.8) и из уравнений  $\psi_1(\theta_0) = 0$ ,  $\psi_2(\theta_0) = 0$ ,  $a - b = \varepsilon\sqrt{2}$ . Последнее уравнение требует, чтобы точка  $A_{-12}$  лежала на прямой  $x - y = \varepsilon\sqrt{2}$ . Например, имеется семейство эллипсов, зависящее от одного параметра, дуги которых могут быть приняты за линию  $A_{-21}A_{-12}$ . Аналогичный факт имеет место в задаче о перекусывании полосы штампом с цилиндрической подошвой [3].

Полученное решение будет справедливо и в случае, когда стенки матрицы прямолинейны, так как в этом случае проекции скорости на направления  $\alpha, \beta$ , так же как и в общем случае, являются однозначными функциями  $\alpha, \beta$ . Можно показать, что в случае прямолинейной матрицы уравнение (2.8) выполняется автоматически в силу уравнения (2.4).

Условие  $\theta_0 \leq \theta_1$  в этом случае совпадает с условием применимости рассмотренного поля линий скольжения, полученного Хиллом [1] из геометрических соображений.

Ограниченностъ полученного решения можно преодолеть, если рассмотреть другое поле линий скольжения.

Поступила 18 XI 1961

#### ЛИТЕРАТУРА

- Х и л л Р. Математическая теория пластичности. М., ГИТТЛ, 1956.
- Ш е в ч е н к о К. Н. Пластическое напряженное состояние и течение металла при холодной прокатке и волочении. Изв. АН СССР, ОТН, 1946, № 3.
- Д р у я н о в Б. А. Распределение напряжений под штампом с криволинейной подошвой при перекусывании идеально пластической полосы. ПМТФ, 1961, № 6.